

# سنتر نانو ذره‌های سیلیکالیت-۱ و بررسی تأثیر تعداد مرحله‌های جوانه‌نشانی روی پایه‌های جوانه‌نشانی شده برای ساخت غشاء زئولیتی با کیفیت بالا

سیده فاطمه بنی‌هاشمی<sup>\*</sup>، علی احمدپور<sup>+</sup>، مجید پاکزیه، مهدی پورافشاری چنان  
مشهد، دانشگاه فردوسی مشهد، دانشکده مهندسی، گروه مهندسی شیمی

**چکیده:** در این پژوهش، ابتدا نانو ذره‌های سیلیکالیت-۱ با اندازه متوسط ۴۰ نانومتر به روش هیدرولترمال برای جوانه‌نشانی سنتر شدند. با توجه به اینکه جوانه‌نشانی بلورهای زئولیت بر روی سطح پایه یکی از گام‌های کلیدی در سنتر غشاهای زئولیتی به روش رشد ثانویه محسوب می‌شود، تعداد مرحله‌های جوانه‌نشانی پایه به روش پوشش عمقی به منظور بالا بردن کیفیت غشاء مورد ارزیابی دقیق قرار گرفت. آزمایش‌های تعیین ویژگی‌ها شامل تجزیه‌های طیف پراش اشعه ایکس (XRD)، میکروسکوپ الکترونی روبشی (SEM)، میکروسکوپ الکترونی عبوری (TEM)، ایزوترم جذب و دفع نیتروژن، طیف سنجی مادون قرمز (FT-IR)، وزن سنجی حرارتی (TGA) و گرماسنجی روبشی تفاضلی (DSC) بر روی نانو ذره‌های سنتر شده و پایه‌های جوانه‌نشانی شده صورت گرفت. بررسی تأثیر تعداد مرحله‌های جوانه‌نشانی بر روی پایه آلومینیا نشان داد که تکرار سه مرحله جوانه‌نشانی بهترین پوشش را بر روی پایه ایجاد می‌کند.

**واژه‌های کلیدی:** نانو سیلیکالیت-۱، رشد ثانویه، جوانه‌نشانی، پوشش عمقی، تعیین ویژگی‌ها.

**KEY WORDS:** Nanosilicalite-1, Secondary growth, Seeding, Dip-coating, Characterization.

## مقدمه

جadasازی و مؤثر بسیار دارای اهمیت می‌باشند [۱]. غشاهای معدنی به دلیل داشتن برتری‌هایی چون پایداری حرارتی و مکانیکی بالا در بسیاری از فرایندها نسبت به غشاهای آلی مورد توجه بیشتری واقع شده‌اند. در سال‌های اخیر انواع غشاهای معدنی کربنی، شیشه‌ای متخلخل، سیلیکا و زئولیتی ساخته شده‌اند. در این میان، غشاهای زئولیتی به عنوان شاخه‌ای جدید از غشاهای معدنی محسوب می‌شوند [۲-۴]. زئولیت‌های آلومینو سیلیکات متخلخل با کanal‌ها و شبکه‌های منظم و متناسب در مقیاس نانومتر می‌باشند.

با توجه به رشد صنایع پتروشیمی و پالایشگاه‌ها، فرایندهای جadasازی جایگاه ویژه‌ای را در صنعت به خود اختصاص داده‌اند و نقشی کلیدی در کیفیت فراورده‌های تولیدی و ارزیابی اقتصادی فرایند بازی می‌کند. با توجه به مسأله بحران انرژی و افزایش مدام قیمت آن، صرفه‌جویی در میزان مصرف انرژی توجه فراوانی را به خود جلب کرده است. بنابراین، یافتن روشی مناسب که علاوه بر کارآیی بالا به صرفه نیز باشد از اهمیت ویژه‌ای برخوردار است. فرایندهای غشایی در طی سه دهه اخیر به عنوان فناوری نوین

+E-mail: ahmadpour@um.ac.ir

\*عهده دار مکاتبات

بلورهای زئولیت بر سطح پایه گزارش شده‌اند. از روش‌های جوانه‌نشانی می‌توان به روش مالش<sup>(۱)</sup> سطح پایه با بلورهای زئولیت [۸، ۹]، غوطه‌وری یا پوشش دهی عمقی<sup>(۲)</sup>، اسپری کردن<sup>(۳)</sup>، جوانه‌نشانی به کمک خلاء<sup>(۴)</sup> [۱۰]، الکتروفورتیک<sup>(۵)</sup> [۴] و ریخته‌گری دوغابی<sup>(۶)</sup> [۱۱، ۱۲] اشاره نمود. پوشش دهی عمقی از روش‌هایی است که به دلیل سادگی، مورد استفاده بسیار قرار گرفته است. در این روش، محلول دوغایی از ذره‌های زئولیت تهیه شده و پایه به مدت چند دقیقه درون آن قرار می‌گیرد. برای پوشش بهتر پایه لازم است این کار چندین بار تکرار شود [۴، ۱۳]. تومیتا<sup>(۷)</sup> و همکاران<sup>(۸)</sup> [۱۴] از روش پوشش دهی عمقی برای جوانه‌نشانی پایه برای ساخت غشاهای زئولیتی DDR استفاده کردند. ژیاوچان<sup>(۹)</sup> و همکاران<sup>(۱۵)</sup> در سال ۲۰۰۵ میلادی از این روش جوانه‌نشانی در ساخت غشاهای زئولیتی NaA استفاده نمودند. پن<sup>(۹)</sup> و همکاران<sup>(۱۶)</sup> در سال ۲۰۰۱ میلادی، تنگ<sup>(۱۰)</sup> و همکاران<sup>(۱۷)</sup> در سال ۲۰۰۹ میلادی و ژیائو و همکاران<sup>(۱۸)</sup> در سال ۲۰۱۱ میلادی از جوانه‌نشانی به روش پوشش دهی عمقی برای ساخت غشاهای MFI استفاده کردند. در سال ۱۳۸۹ وفا<sup>(۱)</sup> و همکاران<sup>(۱۹)</sup> [۱۹] از روش‌های مالشی و ZSM-5 غوطه‌وری برای جوانه‌نشانی پایه‌ها به منظور ساخت غشاهای استفاده کردند. آنها دریافتند که غشای جوانه‌نشانی شده به شیوه یکنواخت قرار گرفتن ذرهای اولیه بر روی پایه در هنگام جوانه‌نشانی نسبت به روش پوشش دهی عمقی و در نتیجه تشکیل فیلم یکنواخت‌تر در هنگام تشکیل غشا و حفره‌های بین مولکولی منظم‌تر بیان کردند. ترکمان و همکاران<sup>(۲۰)</sup> در سال ۲۰۱۰ میلادی و سیستانی و همکاران<sup>(۲۱)</sup> در سال ۱۳۸۸ روش جوانه‌نشانی پوشش دهی عمقی را برای ساخت غشاهای با ساختار MFI مورد استفاده قرار دادند. آنها تأثیر پارامترهایی مانند اندازه جوانه‌ها، غلظت دوغاب و زمان جوانه‌نشانی را بر کیفیت پایه‌های جوانه‌نشانی شده بررسی کردند. چنگ<sup>(۱۱)</sup> و همکاران<sup>(۲۲)</sup> در سال ۲۰۰۶ میلادی از دو مرحله جوانه‌نشانی به روش پوشش دهی عمقی بدون ذکر تعیین

این دسته از ترکیب‌ها دارای ساختار سه بعدی هستند و یکی از ویژگی‌های آنها تفاوت در ساختار زئولیت در محورهای گوناگون است. چگونگی رشد زئولیت بر روی غشا در هر محور سبب ایجاد ویژگی‌های گوناگون در ساختار و در نتیجه در فرایند جداسازی می‌شود. به همین جهت زئولیت‌ها به دلیل ساختار منحصر به فرد خود و ویژگی‌هایی چون مقاومت در دماهای بالا و محیط‌های خورنده و ویژگی‌های تعویض یونی به عنوان موادی مناسب در ساخت غشا مطرح شده‌اند. در بین زئولیت‌ها، زئولیت‌های خانواده Silicalite-1 و ZSM-5 (MFI) به دلیل داشتن اندازه حفره‌های متوسط در زمره‌ی زئولیت‌ها با اهمیت در صنعت به شمار می‌آیند [۷-۵].

غشاهای زئولیتی به سه روش سنتز مستقیم، رشد ثانویه و تبدیل ژل خشک ساخته می‌شوند. در این میان، روش رشد ثانویه از کاربرد بیشتری برخوردار است. این روش شامل دو مرحله می‌باشد، ابتدا سطح پایه به وسیله بلورهای زئولیت جوانه‌نشانی شده و سپس به کمک روش هیدروترمال رشد داده می‌شود تا لایه پیوسته‌ای از زئولیت بر روی پایه تشکیل شود. هدف از مرحله دوم، رشد جوانه‌ها بدون ایجاد فضاهای بین بلوری به صورت لایه‌ای پیوسته است. روش رشد ثانویه به دلیل انعطاف‌بیشتر شرایط سنتز، کنترل بهتر فیلم سنتز شده و کیفیت بالاتر غشاهای تولیدی برای تولید غشاهای زئولیتی در مقیاس بزرگ نسبت به سایر روش‌ها برتری دارد. با جدا کردن مرحله هسته‌زایی از مرحله رشد بلور، جوانه‌ها می‌توانند در محلول سنتز رقیق‌تری رشد کنند. با تغییر ترکیب درصد و غلظت این محلول می‌توان کنترل بهتری بر سرعت رشد و جهت‌گیری بلورها اعمال نمود. جوانه‌نشانی پایه روشی مناسب برای بهبود هسته‌زایی بر روی سطح پایه است. لایه جوانه‌نشانی ویژگی‌های سطح پایه را بالا برده و نقش مهمی در رشد و جهت‌گیری مناسب بلورهای زئولیت بر سطح پایه بازی می‌کند [۴].

### روش‌های بسیاری در مقاله‌ها به منظور جوانه‌نشانی

(۷) Tomita

(۸) Xiaochun

(۹) Pan

(۱۰) Tang

(۱۱) Cheng

۱/۵ ساعت در دمای اتاق باقی ماند تا به طور کامل سرد شود. به منظور جرمان آب از دست رفته به علت تبخیر شدن در مرحله حرارت دهی به همان میزان آب به محلول اضافه شد. محلول پیش از ریخته شدن در اتوکلاو مطابق با مرجع [۲۴] از کاغذ صافی عبور داده شد. سپس محلول در یک اتوکلاو از جنس استیل خرد زنگ ۳۱۶ با پوشش داخلی تفلون ریخته شد. درب اتوکلاو به طور کامل بسته شد تا هیچ گونه نشتی وجود نداشته باشد. اتوکلاو به مدت ۲۴ ساعت در آون با دمای ۱۵۰°C قرار گرفت. ستز نانوذرهای زئولیت تحت فشار خودبهخودی در شرایط هیدروترمال صورت گرفت. پس از پایان ستز، اتوکلاو به سرعت سرد شد تا واکنش متوقف شود. در محلول شیری رنگ به دست آمده، بلورهای ستز شده از مواد اولیه واکنش نداده توسط ساتریفوژ و اولتراسونیک در آب مقطر جدا شدند. این عمل چندین بار تکرار شد تا مواد واکنش نداده از سطح پودر به طور کامل جدا شده و pH سامانه به حالت خنثی برسد. پودر جمع آوری شده در دمای ۷۰°C در آون خشک شد.

#### آماده سازی پایه‌ها

پایه‌های دیسکی شکل خریداری شده برای تمیز شدن و باز شدن منافذشان، ابتدا به مدت ۴۰ دقیقه داخل حمام اولتراسونیک استون قرار گرفته و سپس به مدت ۳ دقیقه در استون جوشانده شدند. در مرحله بعد، پایه‌ها در هوای آزاد به مدت ۲ روز قرار گرفتند تا به طور کامل خشک شوند.

#### جوانه نشانی پایه‌ها

جوانه نشانی پایه‌ها توسط روش پوشش دهی عمقي صورت گرفت. بدین منظور سوسپانسیونی از پودر زئولیت در آب مقطر با غلاظت ۱٪ وزنی تهیه شد و در دستگاه اولتراسونیک قرار گرفت تا ذره‌های به هم چسبیده به طور کامل پراکنده شوند. در این مرحله آزمایش‌هایی برای جوانه نشانی شده برای ساخت غشا انتخاب شد. سرانجام بهترین پایه جوانه نشانی شده برای ساخت غشا انتخاب شد. برای جوانه نشانی، پایه‌ها به مدت ۱۰ دقیقه به طور عمود در سوسپانسیون آماده شده قرار گرفتند و سپس به مدت ۳۰ دقیقه در محیط آزمایشگاه خشک شدند. پس از هر بار جوانه نشانی، پایه‌ها به مدت ۱ ساعت در آون با دمای ۷۵°C قرار گرفتند تا به طور کامل خشک شوند. برای بررسی کیفیت سطح نمونه‌ها، دیدن خشامت لایه جوانه نشانی شده و بررسی وجود عیوب ساختاری

ویژگی‌های پایه جوانه نشانی شده در هر مرحله، برای ساخت غشاهای Ce-ZSM-5 استفاده کردند. در مطالعه حاضر، نانوذرهای سیلیکالیت-۱ با اندازه متوسط ۴۰ نانومتر به منظور جوانه نشانی سطح پایه ستز شدند. روش پوشش دهی عمقي برای جوانه نشانی پایه انتخاب شد. مرحله‌های جوانه نشانی با هدف دستیابی به لایه جوانه نشانی شده به طور کامل یکنواخت برای ساخت غشا با کیفیت مناسب‌تر بررسی شد. این مورد تاکنون در مقاله‌های دیگر مورد بررسی دقیق قرار نگرفته است. در ضمن تجزیه‌های ساختاری و تعیین ویژگی‌ها بر روی نانوذرهای سیلیکالیت-۱ و پایه جوانه نشانی شده صورت گرفت.

#### بخش تجربی

##### مواد

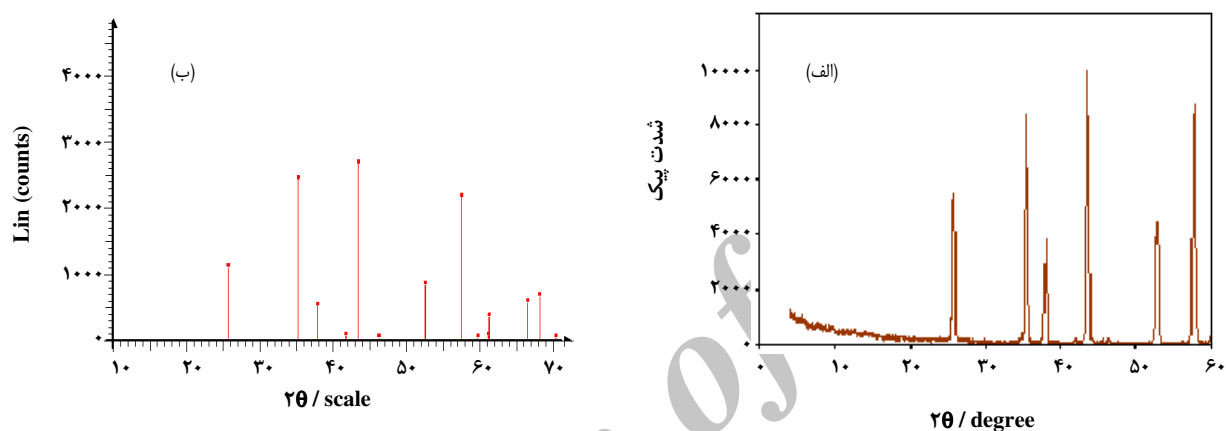
بدون شک پایه مناسب گزینه‌ای مهم در پژوهش ساخت غشا محسوب می‌شود. در این پژوهش از دیسکهای آلمینیا به قطر ۲cm و ضخامت ۲mm به عنوان پایه غشا استفاده شد. پایه‌های استفاده شده از فراورده‌های تولیدی بخش سرامیک شرکت نفت و گاز سرو با اندازه متوسط حفره‌ها ۸۰ nm و درصد تخلخل ۳۰٪ می‌باشد که با استفاده از دستگاه تخلخل سنج جبوهای مدل ۴۴۰ پاسکال اندازه‌گیری شده است [۲۳]. پودر سیلیکا ( $\text{SiO}_2$ , ۹۸%, Nano Lin) به عنوان منبع سیلیسیم، تترا پروپیل آمونیوم هیدروکسید (TPAOH, Merck) ۴۰٪ به عنوان ماده هدایت کننده ساختار، هیدروکسید سدیم (NaOH, Merck) به عنوان منبع قلیایی و آب مقطر برای تهیه محلول به کار برد شدند.

#### روش تهیه نانوذرهای سیلیکالیت-۱

نانوذرهای سیلیکالیت-۱ در این پژوهش از یک محلول شفاف به روش هیدروترمال با ترکیب درصد مولی  $\text{SiO}_2: \text{TPAOH}: \text{NaOH} = 164: 36: 5$  استز شدند. این ترکیب درصد پس از چندین مرتبه آزمایش و تعیین ویژگی‌های نانوذرهای نهایی شد. برای تهیه محلول ابتدا سدیم هیدروکسید در آب مقطر حل شده و سپس تترا پروپیل آمونیوم هیدروکسید به آن اضافه شد. پس از مخلوط شدن، پودر سیلیکا به محلول به دست آمده اضافه شد. برای حل شدن پودر سیلیکا، همانند روش‌های به عمل آمده در برخی منابع [۲۴، ۲]، محلول بر روی یک صفحه داغ جوشید تا شفاف شود. سپس محلول به مدت

جدول ۱- مقایسه داده‌های XRD پایه آلمینای مورد استفاده در این پژوهش با آلمینای استاندارد [۲۵-۲۷]

| h k l | فاصله بین صفحه‌های بلوری  |                    | ۲θ                        |                    |
|-------|---------------------------|--------------------|---------------------------|--------------------|
|       | پایه آلمینای مورد استفاده | آلومینای استاندارد | پایه آلمینای مورد استفاده | آلومینای استاندارد |
| ۰۱۲   | ۳/۴۸۰                     | ۳/۴۸۰              | ۲۵/۵۷۵                    | ۲۵/۵۷۷             |
| ۱۰۴   | ۲/۵۵۱                     | ۲/۵۵۱              | ۳۵/۱۴۵                    | ۳۵/۱۵۱             |
| ۱۱۰   | ۲/۳۸۱                     | ۲/۳۷۹              | ۳۷/۸۶۰                    | ۳۷/۷۸۵             |
| ۱۱۳   | ۲/۰۸۲                     | ۲/۰۸۵              | ۴۳/۳۹۰                    | ۴۳/۳۶۳             |



شکل ۱- الگوی XRD (الف) پایه آلمینای مورد استفاده در جوانه‌نمانی (ب) - آلمینای استاندارد [۲۵-۲۷].

بر روی آنها مورد ارزیابی قرار گرفتند. به منظور بررسی ویژگی‌های ساختاری پایه آلمینای مورد استفاده، الگوی XRD مربوط به آن گرفته شد که در شکل (۱-الف) نشان داده شده است.

در شکل (۱-الف) چهار پیک شدید در بازه‌ی زوایای  $25/5$ ،  $35/3$  و  $43/3$  دیده می‌شود. موقعیت و شدت پیک‌ها به ترتیب بر صفحه‌های (۰۱۲)، (۱۰۴)، (۱۱۰) و (۱۱۳) منطبق هستند که این نتیجه‌ها مطابق با الگوی XRD مرجع در شکل (۱-ب) می‌باشند. بررسی داده‌های پراش اشعه ایکس پایه آلمینای مورد استفاده و آلمینای استاندارد در جدول ۱ نشان دهنده  $\alpha$ -Al<sub>0.9</sub>O<sub>0.1</sub> بودن پایه مورد استفاده برای جوانه‌نمانی و سپس ساخت غشا می‌باشد.

شکل ۲ تصویر SEM گرفته شده از سطح پایه با بزرگنمایی ۱۵۰۰۰ است که مورفولوژی سطح را نشان می‌دهد.

#### نتیجه‌های به دست آمده از سنتز نانو ذره‌ها

همانگونه که پیشتر بیان شد، فرمولاسیون سنتز نانو ذره‌های سیلیکالیت-۱ پس از چندین مرتبه آزمایش با تغییر نسبت‌های مولی

در لایه (مانند ترکها و حفره‌های بین ذره‌ها) از میکروسکوپ الکترونی روبشی (SEM, Philips XL30) استفاده شد. مورفولوژی و اندازه نانو ذره‌های سیلیکالیت-۱ سنتز شده توسط میکروسکوپ الکترونی عبوری (TEM, LEO912AB, German Zei Co.) بررسی شد. برای اطمینان یافتن از تشکیل فاز زوئیتی، شناسایی و ارزیابی نمونه‌ها، تجزیه پراش اشعه ایکس (XRD, Philips analytical X-pert,  $\lambda=1.54056\text{\AA}$ ) (DSC, DSC-60, Japan Shimadzu Co.) و وزن سنجی گرمایی (TGA, TGA-50/50h, Japan Shimadzu Co.) صورت گرفت.

#### نتیجه‌ها و بحث

#### نتیجه‌های تجزیه پایه‌های $\alpha$ -آلومینا

برای اطمینان از مناسب بودن پایه‌های سرامیکی مورد استفاده، این پایه‌ها قبل از جوانه‌نمانی و قبل از ساخت غشا

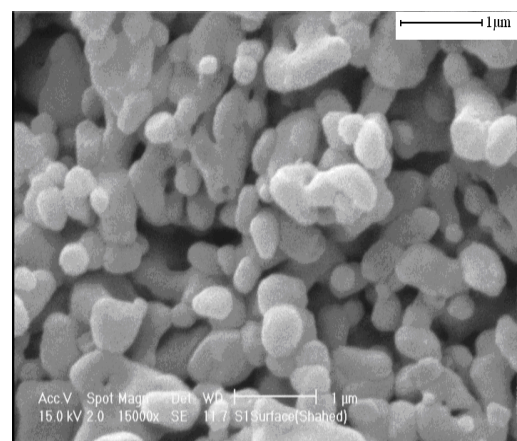
مواد اولیه و سپس تعیین ویژگی‌های نانوذره‌ها، معین شد. از همین روش ستز در تمامی مرحله‌های جوانه نشانی به صورت یکسان استفاده شد و تنها تعداد مرحله‌ها در ویژگی‌های لایه زئولیتی به دست آمده مورد بررسی قرار گرفت.

نتیجه‌های بررسی تجزیه ساختاری توسط XRD از نانو پودرهای ستز شده (شکل ۳-الف) و مقایسه آن با الگوی نمونه استاندارد ۱ (شکل ۳-ب) بیانگر آن است که فاز زئولیتی سیلیکالیت-۱ با خلوص بالا و بدون تداخل فازی ستز شده است. پیک‌های ویژه زئولیت در الگوی استاندارد در  $2\theta = 7/94$  و  $20/20$  و  $23/10$  واقع شده‌اند و پیک‌های ویژه نانو زئولیت ستز شده در  $8/01$  و  $20/20$  و  $23/22$  قرار دارند که با پیک‌های نمونه استاندارد مطابق می‌باشند. به منظور ارزیابی دقیق‌تر، در جدول ۲ مقایسه‌ای بین داده‌های مربوط به زاویه پیک و فاصله بین صفحه‌های بلوری در الگوی XRD پودر سیلیکالیت-۱ ستز شده و سیلیکالیت-۱ استاندارد برای پیک‌های مهم این زئولیت صورت گرفته است. این داده‌ها در سیلیکالیت-۱ ستزی و استاندارد بسیار نزدیک به هم هستند. این نتیجه‌ها ساختار بلوری ستز شده سیلیکالیت-۱ را تأیید می‌کند.

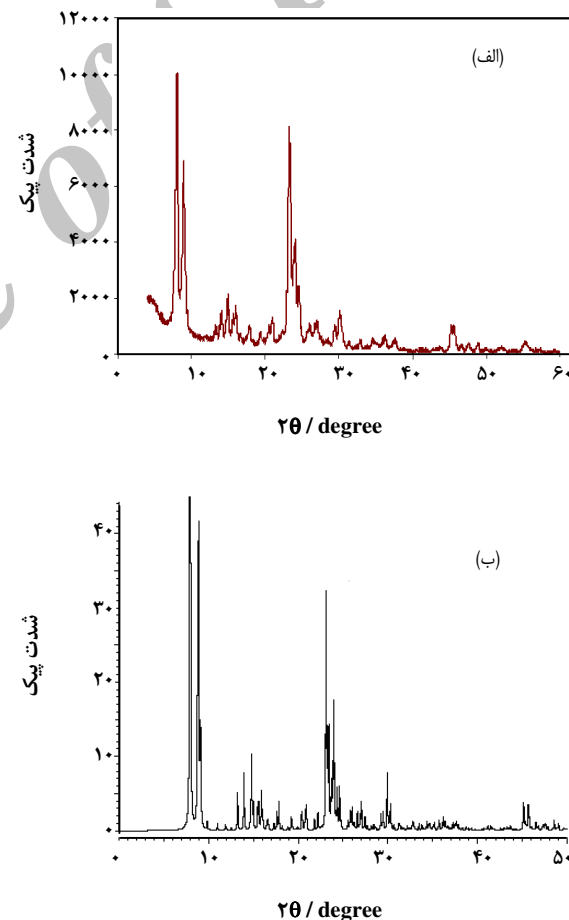
برای بررسی اندازه‌ها و مورفولوژی نمونه نهایی پودر سیلیکالیت-۱ ستز شده، تصویر TEM آن گرفته شد (شکل ۴) که نشان‌دهنده نانوذره‌های تشکیل شده می‌باشد. در ادامه، با توجه به نتیجه‌های تجزیه TEM، اندازه متوسط ذره‌ها حدود ۴۰ نانومتر تعیین شد.

با استفاده از روش‌های تعیین ویژگی‌ها از قبیل سطح ویژه و حجم منافذ می‌توان رفتار ترکیب‌های معدنی پیچیده را با در نظر گرفتن ساختار شیمیابی و فیزیکی برای ساخت غشا مورد بررسی قرار داد. روش‌های بسیاری در این زمینه وجود دارند که یکی از این روش‌های شناخته شده روش جذب گاز می‌باشد. ایزوترم جذب و دفع نیتروژن پودر سیلیکالیت-۱ ستز شده در شکل ۵ نشان داده شده است. در جدول ۳ نیز مقایسه‌ای در مورد سطح ویژه و حجم منافذ به دست آمده از روش BET برای پودر نانو سیلیکالیت-۱ ستز شده و پودر MFI گزارش شده در سایر مقاله‌ها شده است.

ایزوترم جذب و دفع نیتروژن، حضور حفره‌های بسیار ریز ذره‌ها در ساختار زئولیت را نشان می‌دهد ولی حجم بالای تخلخل‌ها و سطح ویژه بالا دلیل بر اندازه حفره‌های ریز ذره‌های زئولیتی نیست. وجود سطح ویژه بالا و حجم حفره‌های پایین در مقایسه



شکل ۲- مورفولوژی سطح پایه  $\alpha$ -آلومینا.



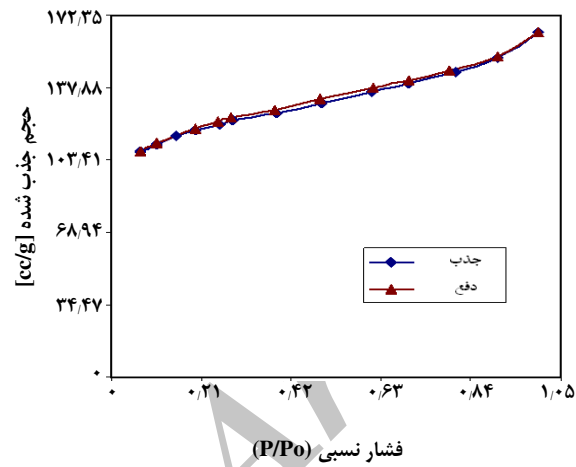
شکل ۳- الگوی XRD (الف) پودر سیلیکالیت-۱ ستز شده، ب) زئولیت سیلیکالیت-۱ استاندارد [۲۸].

جدول ۲- مقایسه داده‌های XRD نمونه سیلیکالیت-۱ سنتز شده با سیلیکالیت-۱ استاندارد [۲۸].

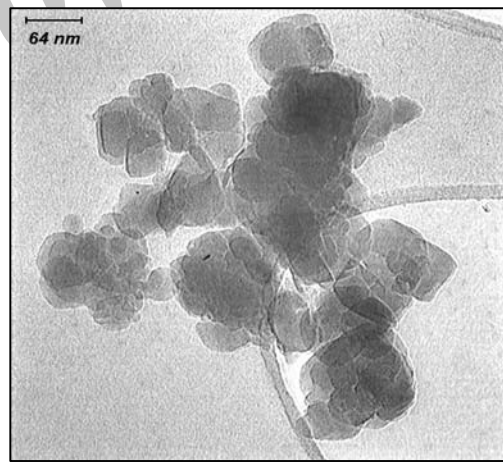
| $h\ k\ l$ | فاصله بین صفحه‌های بلوری |                       | ۲۰                   |                       |
|-----------|--------------------------|-----------------------|----------------------|-----------------------|
|           | سیلیکالیت-۱ سنتز شده     | سیلیکالیت-۱ استاندارد | سیلیکالیت-۱ سنتز شده | سیلیکالیت-۱ استاندارد |
| ۰ ۱ ۱     | ۱۱/۰۶                    | ۱۱/۱۳                 | ۸/۰۱                 | ۷/۹۴                  |
| ۲ ۰ ۰     | ۹/۹۵                     | ۹/۹۴                  | ۸/۹۰                 | ۸/۹۰                  |
| ۰ ۵ ۱     | ۳/۸۴                     | ۳/۸۵                  | ۲۳/۲۲                | ۲۳/۱۰                 |
| ۰ ۳ ۳     | ۳/۷۲                     | ۳/۷۱                  | ۲۴/۰                 | ۲۳/۹۸                 |
| ۳ ۱ ۳     | ۳/۶۲                     | ۳/۶۲                  | ۲۴/۵۴                | ۲۴/۶۱                 |

جدول ۳- مقایسه ویژگی‌های ساختاری حاصل از تجزیه N2-BET برای نمونه سیلیکالیت-۱ سنتزی و نمونه‌های MFI گزارش شده در مقاله‌های دیگر.

| نام نمونه    | ماده هدایت کننده ساختار | سطح ویژه ( $m^2/g$ ) | حجم منافذ ( $cm^3/g$ ) | مرجع      |
|--------------|-------------------------|----------------------|------------------------|-----------|
| ZSM-5        | TPAOH                   | ۴۲۱                  | ۰/۱۸                   | [۱۷]      |
| Silicalite-1 | TPAOH                   | ۳۰۴                  | ۰/۴۷                   | [۲۹]      |
| ZSM-5        | Ethylene diamine        | ۳۰۰                  | ۰/۱۸۴                  | [۳۰]      |
| Silicalite-1 | TPAOH                   | ۵۵۸                  | ۰/۱۹                   | این پژوهش |



شکل ۵- ایزوترم جذب و دفع نیتروژن پودر سیلیکالیت-۱ سنتز شده.



شکل ۴- تصویر TEM نمونه پودری زئولیت سیلیکالیت-۱.

یک مولکول به دست آورد. جذب‌های مربوط به هر پیوند در بخش کوچکی از ناحیه مادون قرمز دریافت می‌شود. بنابراین از این روش می‌توان نوع پیوندهای موجود در یک مولکول را تشخیص داد. طیف FT-IR مربوط به سیلیکالیت-۱ سنتز شده در شکل ۶ نشان داده شده است. در طیف FT-IR به دست آمده تطابق کامل با آنچه مراجع زئولیتی [۴۳] در مورد پیک‌های

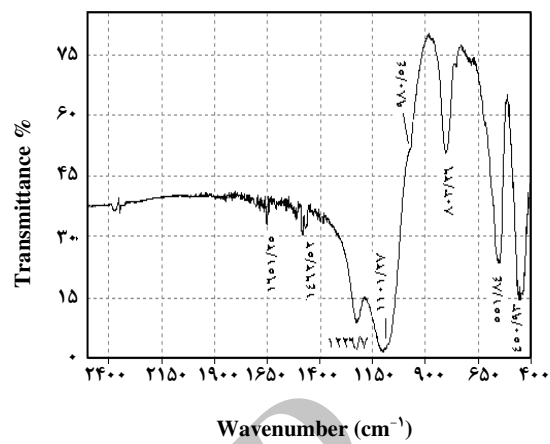
با عکس آن در نمونه سنتز شده در مرجع [۲۷]، نشان دهنده وجود ذره‌ها با اندازه ریز در پودر سنتز شده است. تصویر TEM نیز مؤید همین مطلب می‌باشد.

نانو بلورهای زئولیت سیلیکالیت-۱ سنتز شده به وسیله تجزیه FT-IR نیز مورد مطالعه و بررسی قرار گرفتند. با استفاده از طیف سنجی مادون قرمز می‌توان اطلاعاتی راجع به ساختمان

سطح پایه از پوشش پیوسته و یکنواختی برخوردار نیست و حفره‌های زیادی بین ذرهای سیلیکالیت-۱ در سطح لایه دیده می‌شوند. بر این اساس و برای اطمینان یافتن از ایجاد پوشش مناسب، عمل جوانه‌نشانی یک مرتبه دیگر تکرار شد. سطح و سطح مقطع پایه پس از سه مرحله تکرار عمل جوانه‌نشانی به ترتیب در شکل‌های (ج) و (و) آورده شده است. همان‌طور که دیده می‌شود لایه پوشش داده شده به طور کامل پیوسته، یک‌دست و یکنواخت می‌باشد. ضخامت لایه در این مرحله  $1/5 \mu\text{m}$  است. پس از دیدن تصویرهای مربوط به جوانه‌نشانی پایه و بررسی‌های انجام شده نتیجه می‌شود که تکرار سه مرحله جوانه‌نشانی بهترین پوشش را بر روی پایه ایجاد می‌نماید.

برای بررسی تشکیل لایه نانو بلور زئولیت در مرحله جوانه‌نشانی بر روی سطح پایه، از تجزیه XRD استفاده شد. شکل ۸ الگوی پراش اشعه ایکس پایه جوانه‌نشانی شده بعد از سه مرحله جوانه‌نشانی را نشان می‌دهد. به دلیل ضخامت کم لایه تشکیل شده بر سطح پایه، شدت پیک‌های مربوط به زئولیت سیلیکالیت-۱ نسبت به شدت پیک‌های مربوط به پایه آلمینیا بسیار کمتر است.

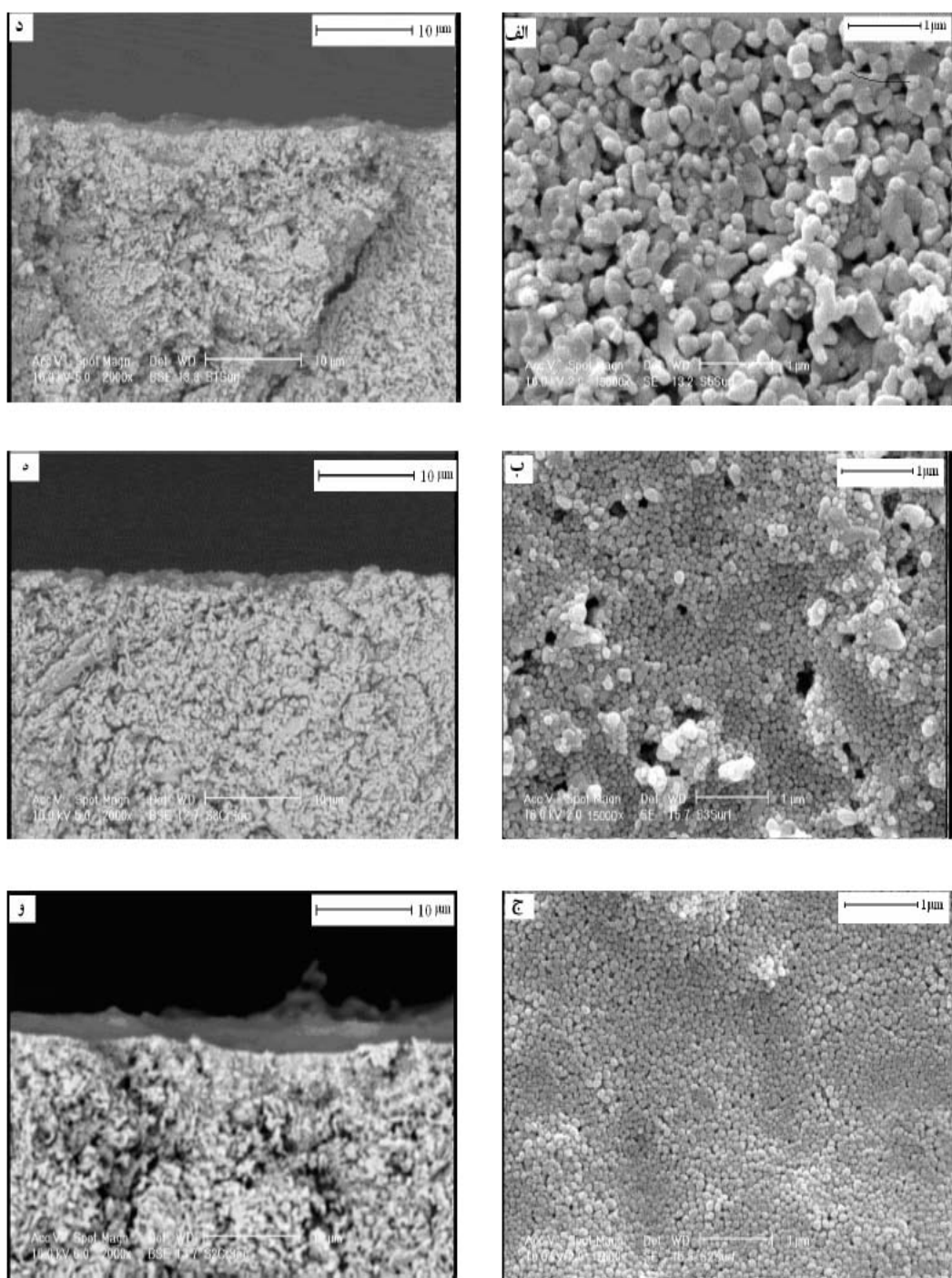
برای تعیین دمای کلسیناسیون پایه‌های جوانه‌نشانی شده و حذف کامل ماده هدایت کننده ساختار از آن، تجزیه وزن سنجی گرمایی و گرماسنجی رویشی تفاضلی بر روی پودر سیلیکالیت-۱ انجام شد که نتیجه‌های آنها در شکل ۹ نشان داده شده است. با افزایش دما کاهش وزن در نمونه دیده می‌شود که به دلیل خارج شدن ماده هدایت کننده ساختار از شبکه بلوری کریستال‌ها در اثر افزایش دما می‌باشد. در تجزیه وزن سنجی گرمایی، عملیات گرمادهی نمونه تا دمای  $80^\circ\text{C}$  با شیب  $10^\circ\text{C}/\text{min}$  در نزدیکی اتمسفر هوا انجام شد. متحنی تجزیه وزن سنجی گرمایی (شکل ۹-الف) نشان می‌دهد که کاهش وزن از دمای  $90^\circ\text{C}$  شروع شده و با توجه به نمودار، ماده هدایت کننده ساختار تا دمای  $480^\circ\text{C}$  به طور کامل از ساختار بلورها خارج شده است. بیشترین کاهش وزن نمونه در فاصله دمایی  $360^\circ\text{C}$  تا  $480^\circ\text{C}$  می‌باشد. بنابراین در هنگام کلسیناسیون باید توجه داشت که در این بازه‌ی دمایی سرعت گرمایش و سرمایش سیار به آرامی صورت گیرد تا از ایجاد ترک‌های احتمالی بر سطح غشا جلوگیری به عمل آید. در تجزیه گرمایی DSC، گرمایش یا گرمایش بودن پدیده‌های درگیر در کلسیناسیون مورد نظر است. این تجزیه از دمای محیط تا دمای  $600^\circ\text{C}$  با شیب  $10^\circ\text{C}/\text{min}$  در اتمسفر هوا



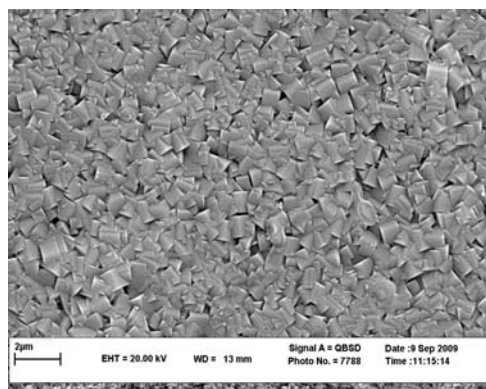
شکل ۶ - طیف FT-IR نانو بلورهای سیلیکالیت-۱.

ناحیه مادون قرمز این زئولیت ذکر کرداند دیده می‌شود. همان‌گونه که در شکل مشخص است این زئولیت دارای پیک‌های مشخصه در  $450^\circ\text{C}$ ،  $550^\circ\text{C}$ ،  $800^\circ\text{C}$ ،  $1100^\circ\text{C}$  و  $1225^\circ\text{C}$  است. پیک  $550^\circ\text{C}$  مربوط به حلقه‌های ۵ عضوی است. ارتعاشات متقارن و نامتقارن Si-O-Si در  $800^\circ\text{C}$  و  $1100^\circ\text{C}$  دیده می‌شوند. پیک دیگری که وجود این زئولیت را تأیید می‌کند پیک  $1225^\circ\text{C}$  است که مربوط به ارتعاش غیر متقارن پیوند T-O است و مرتبط با اتصال‌های خارجی بین چهاروجهی  $\text{TO}_4^-$  بوده و یکی از پیک‌های مشخصه این زئولیت است [۳۲، ۳۳].

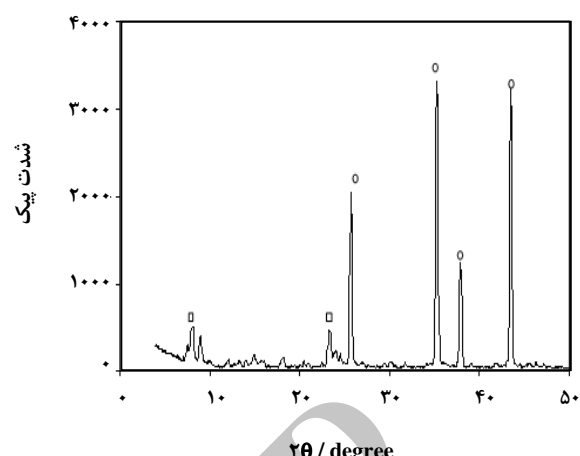
**نتیجه‌های به دست آمده از تعیین ویژگی‌های پایه‌های جوانه‌نشانی شده**  
از آنجا که ساخت غشا بر روی پایه جوانه‌نشانی شده مناسب کیفیت آن را بالا می‌برد، درنتیجه تعداد مرحله‌های جوانه‌نشانی طی آزمایش‌هایی مورد بررسی قرار گرفت و پایه‌هایی با یک، دو و سه مرحله جوانه‌نشانی تهیه و از آن‌ها تصویر SEM گرفته شد. در شکل ۷-الف تصویر SEM از سطح پایه جوانه‌نشانی شده مربوط به یک مرحله جوانه‌نشانی ارایه شده است. همان‌گونه که در شکل مشخص است، نانو ذرات زئولیت روی سطح پایه را به خوبی پوشش نداده‌اند به طوری که بیشتر نقاط پایه بدون پوشش باقی مانده است. شکل ۷-د) سطح مقطع همان پایه پس از یک مرحله جوانه‌نشانی را نشان می‌دهد. با توجه به شکل، لایه نازک تشکیل شده به طور کامل غیر یکنواخت است. در شکل‌های ۷-ب) و ۷-ه) به ترتیب سطح و سطح مقطع پایه پس از دو مرحله جوانه‌نشانی ارایه شده است. با توجه به شکل‌ها، در این حالت نیز



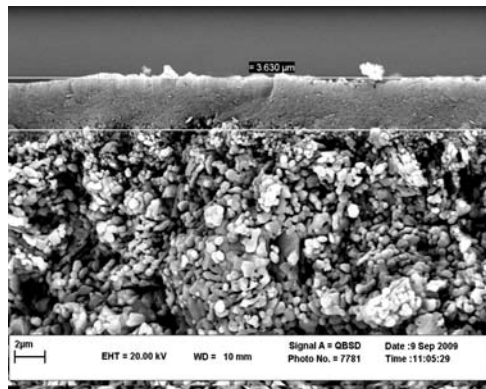
شکل ۷- سطح پایه جوانه‌نشانی شده پس از (الف) یک مرحله (ب) دو مرحله و (ج) سه مرحله جوانه‌نشانی، و سطح مقطع پایه جوانه‌نشانی شده پس از (د) یک مرحله (ه) دو مرحله و (و) سه مرحله جوانه‌نشانی.



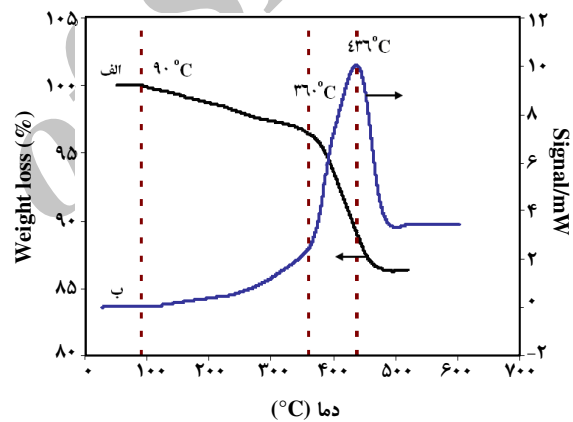
شکل ۱۰- SEM سطح غشاء MFI سنتز شده.



شکل ۸- الگوی XRD مربوط به پایه جوانه نشانی شده، پیک آلفا آلومینا، پیک MFI.



شکل ۱۱- SEM سطح مقطع غشاء MFI سنتز شده.



شکل ۹- تجزیه‌های حرارتی TGA و DSC.

با نسبت مولی  $\text{SiO}_4 : \text{AlKOH} : \text{TPAOH} : \text{H}_2\text{O} = 40 : 40 : 8 : 2000$  قرار گرفت و یک فیلم پیوسته بدون عیب و ترک از لایه زئولیت همپوشانی بسیار خوب بر روی پایه ایجاد شد. در شکل ۱۰ سطح و در شکل ۱۱ سطح مقطع غشا نشان داده شده است. غشای به دست آمده تحت آزمایش تراوایی گاز که یکی از روش‌های مهم ارزیابی عملکرد غشا است، قرار گرفت. اساس آزمایش‌های صورت گرفته عبور مولکول‌های گازی گوناگون با اندازه‌ها و ضریب‌های عبوری گوناگون از غشا می‌باشد. برای بررسی کارایی غشای ساخته شده، آزمایش‌های تراوایی گاز خالص در بازه‌ی فشار ۱-۴ بار در دمای  $300^\circ\text{C}$  و در سامانه آزمایشگاهی

بر روی نمونه‌ها انجام شد. منحنی مربوط به این تجزیه در شکل (۹-ب) آورده شده است. با توجه به شکل، بین دو دمای  $360^\circ\text{C}$  و  $500^\circ\text{C}$  یک پیک گرماده دیده می‌شود که ناشی از حذف ماده هدایت کننده ساختار از بلورهای سیلیکالیت-۱ است. این موضوع با نتیجه گرفته شده از تجزیه وزن سنجی گرمایی مبنی بر کاهش وزن شدید نمونه پس از  $360^\circ\text{C}$  به طور کامل مطابقت دارد. بیشترین شدت پیک نیز در دمای  $436^\circ\text{C}$  می‌باشد.

#### غشای سنتزی و بررسی عملکرد گاز تراوایی آن پایه پس از سه مرحله جوانه نشانی در محلول سنتز ثانویه

را تأیید می‌کنند. بررسی تصویرهای SEM پایه‌های جوانه نشانی شده نشان داد که تکرار سه مرحله عمل جوانه نشانی پوششی به طور کامل بیوسته، یکدست و یکنواخت با خاصیت لایه بهینه  $1/5 \mu\text{m}$  از نانوذره‌ها را بر سطح پایه ایجاد می‌کند.

که به این منظور ساخته شده بود، انجام شد. تراوایی گازهای خالص  $\text{CO}_2$  و  $\text{N}_2$  بر روی غشاهاست شده مورد مطالعه قرار گرفت. میزان انتخاب پذیری ایده‌آل  $\text{CO}_2/\text{CH}_4$  و  $\text{CO}_2/\text{CH}_4/\text{N}_2$  به ترتیب برابر با  $6/5$  و  $9/6$  به دست آمد. نتیجه‌ها بیانگر جداسازی مطلوب غشا نسبت به گاز  $\text{CO}_2$  است.

### قدرتانی

از آزمایشگاه تحقیقاتی مهندسی شیمی دانشگاه فردوسی مشهد، خانم سیده زهره بنی‌هاشمی (دانشگاه تربیت معلم سبزوار)، شرکت تکلانتوس (خانم مهندس مقدم) و شرکت سامان پژوهان آریا گستر (آقای فرهادی) به خاطر کمک‌های بسیاری شکر می‌شود. خدمتاً از حمایت مالی ستاد فناوری نانو صمیمانه سپاسگزاریم.

تاریخ دریافت: ۱۳۹۰، ۲، ۲۴      تاریخ پذیرش: ۱۳۹۱، ۲، ۲۲

### نتیجه‌گیری

در این پژوهش پایه‌های جوانه‌نشانی شده با پوششی به طور کامل یکنواخت برای ساخت غشاهازی زئولیتی با کیفیت بهتر تهیه شدند. ابتدا نانوذرات زئولیت سیلیکالیت-۱ برای ساخت غشاها به روش رشد ثانویه سنتز شدند. برای بررسی اندازه‌های نمونه پودر سیلیکالیت-۱ سنتز شده، تصویر آن توسط میکروسکوپ الکترونی عبوری گرفته شد و با بررسی تصویرهای مربوط به آن متوجه اندازه نانوذرات سنتز شده به میزان  $40 \text{ nm}$  بود. نتیجه تجزیه‌های مربوط به تعیین مشخصه‌های نانوذرات سیلیکالیت-۱، تشکیل ساختار بلوری MFI با خلوص بالا و بدون تداخل فازی

### مراجع

- [1] Ismail A.F., Ridzuan N., Rahman S.A., Latest Development on the Membrane Formation for Gas Separation, *International Journal of Science and Technology*, **24**, p. 1025 (2002).
- [2] Burggraaf A.J., Vroon Z.A.E.P., Keizer K., Verweij H., Permeation of Single Gases in Thin Zeolite MFI Membranes, *Journal of Membrane Science*, **144**, p. 77 (1998).
- [3] Li S., Falconer J.L., Noble R.D., SAPO-34 Membrane for  $\text{CO}_2/\text{CH}_4$  Separations: Effect of Si/Al Ratio, *Journal of Microporous Mesoporous Materials*, **110**, p. 310 (2008).
- [4] Čejka J., Bekkum H.V., Schüth F., "Introduction to Zeolite Science and Practice", 3rd Ed., Elsevier (2007).
- [5] Sommer S., Melin T., Falconer J.L., Noble R.D., Transport of C6 Isomers Through ZSM-5 Zeolite Membranes, *Journal of Membrane Science*, **224**, p. 51 (2003).
- [6] Gopalakrishnan S., Yamaguchi T., Nakao S., Permeation Properties of Templated and Template-Free ZSM-5 Membranes, *Journal of Membrane Science*, **274**, p. 102 (2006).
- [7] Li G., Kikuchi E., Matsukata M., ZSM-5 Zeolite Membranes Prepared from a Clear Template-Free solution, *Journal of Microporous Mesoporous Materials*, **60**, p. 225 (2003).
- [8] Bonhomme F., Welk M., Nenoff T.,  $\text{CO}_2$  Selectivity and Lifetimes of High Silica ZSM-5 Membranes, *Journal of Microporous Mesoporous Materials*, **66**, p. 181 (2003).
- [9] Hasegawa Y., Watanabe K., Kusakabe K., Morooka S., The Separation of  $\text{CO}_2$  Using Y-type Zeolite Membranes Ion-Exchanged with Alkali Metal Cations, *Journal of Separation and Purification Technology*, **22-33**, p. 319 (2001).

- [10] Huang A., Lin Y.S., Yang W., Synthesis and Properties of A-Type Zeolite Membranes by Secondary Growth Method with Vacuum, *Journal of Membrane Science*, **245**, p. 41 (2004).
- [11] Au L.T.Y., Yeung K.L., An Investigation of the Relationship Between Microstructure and Permeation Properties of ZSM-5 Membranes, *Journal of Membrane Science*, **194**, p. 33 (2001).
- [12] Zhang X., Liu H., Yeung K.L., Novel Two-Layered Zeolite NaA-Silicalite-1 Membranes, *Journal of Physics and Chemistry of Solids*, **66**, p. 1034 (2005).
- [13] Mallada R., Menéndez M., "Inorganic Membranes: Synthesis, Characterization and Applications", Elsevier, (2008).
- [14] Tomita T., Nakayama K., Sakai H., Gas Separation Characteristics of DDR Type Zeolite Membrane, *Journal of Microporous and Mesoporous Materials*, **68**, p. 71 (2004).
- [15] Xu X., Bao Y., Song C., Yang W., Liu J., Lin L., Synthesis, Characterization and Single Gas Permeation Properties of NaA Zeolite Membrane, *Journal of Membrane Science*, **249**, p. 51 (2005).
- [16] Pan M., Lin Y.S., Template-Free Secondary Growth Synthesis of MFI Type Zeolite Membranes, *Journal of Microporous and Mesoporous Materials*, **43**, p. 319 (2001).
- [17] Tang Z., Kim S.J., Gu X., Dong J., Microwave Synthesis of MFI-Type Zeolite Membranes by Seeded Secondary Growth Without the Use of Organic Structure Directing Agents, *Journal of Microporous and Mesoporous Materials*, **118**, p. 224 (2009).
- [18] Xiao W., Chen Z., Zhou L., Yang J., Lu J., Wang J., A Simple Seeding Method for MFI Zeolite Membrane Synthesis on Macroporous Support by Microwave Heating, *Journal of Microporous and Mesoporous Materials*, **142**, p. 154 (2011).
- [۱۹] وفایی م، موسویان م، ملکپور ا، احمدی س، سنتز غشای زئولیتی ZSM-5 با استفاده از روش‌های دانه‌گذاری متفاوت و مقایسه این غشاها در جداسازی ایزومرهاي زاپلن، نشریه شیمی و مهندسی شیمی ایران، (۱۳۸۹)، ۲۹ (۴)
- [20] Torkaman R., Kazemian H., Soltanieh M., Removal of BTX Compound from Wastewaters Using Template Free MFI Zeolitic Membrane, *Iranian Journal of Chemistry and Chemical Engineering*, **29**, p. 91 (2010).
- [۲۱] سیستانی س، احسانی م، کاظمیان ح، دیدری م، سنتز و شناسایی غشاء زئولیتی ZSM-5 از نانو کریستال‌های MFI بدون استفاده از ماده آبی قالب ساز و بررسی خواص جداسازی گازی، نشریه شیمی و مهندسی شیمی ایران، (۱۳۸۸)، ۱، (۲).
- [22] Cheng Y., Li J.S., Wang L.J., Sun X.Y., Liu X.D., Synthesis and Characterization of Ce-ZSM-5 Zeolite Membranes, *Journal of Separation and Purification Technology*, **51**, p. 210 (2006).
- [23] Pakizeh M., Omidkhah M.R., Zarringhalam A., Synthesis and Characterization of New Silica Membranes Using Template-Sol-Gel Technology, *Journal of Hydrogen Energy*, **32**, p. 1825 (2007).

- [24] Deckman H.W., Jacobson A.J., McHenry J.A., Keizer K., Burggraaf A.J., Vroon Z.A.E.P., Czarnetzki L.R., Lai F.W., Bons A.J., Mortier Wilfried Jozef, V., Molecular Sieve Layers and Processes for Their Manufacture, 2006, US Patent 0189476A1.
- [25] Welton-Holzer J., McCarthy G., North Dakota State University, Fargo, North Dakota, USA., ICDD Grant-in-Aid, (1989).
- [26] Ishizawa N., Miyata T., Minato I., Marumo F., Iwai S., A Structural Investigation of  $\text{Al}_2\text{O}_3$  at 2170 K, *Acta Crystallographica*, Sec. **B36**, p. 228, (1980).
- [27] Winchell hell H., "Microscopic Character of Artificial Inorganic Solid Substances", 3rd Ed., (1964).
- [28] Treacy M.M.J., Higgins J.B., "Collection of Simulated XRD Powder Patterns for Zeolites", first Ed., Elsevier, (2001).
- [29] Wee L.H., Wang Z., Mihailova B., Doyle A.M., Organic Functionalization of Silicalite-1 Nanocrystals by Ultrasonic Treatment in Methanol, *Journal of Microporous and Mesoporous Materials*, **116**, p. 59 (2008).
- [30] Venkatathri N., Synthesis and Characterization of a Microcrystalline ZSM-5 Molecular Sieve, *Journal of Reaction Kinetics and Catalysis Letters*, **91**, p. 283 (2007).
- [31] Xu R.R., Gao Z., Xu Y., "Progress in Zeolite Science- A China Perspective", World Scientific Publishing Co. Pte. Ltd., (1995).
- [32] Bo W., Jian-min S., Hui-qun C., Yu-juan L., Lin F., Synthesis and Catalytic Properties of ZSM-5 Zeolite with Alkyl-polyamine Triethylene-tetramine as Directing Agent, *Chemical Journal of Chinese Universities*, **25**, p. 286 (2009).
- [33] Cheng Y., Liao R.H., Li J.S., Sun X.Y., Wang L.J., Synthesis Research of Nanosized ZSM-5 Zeolites in the Absence of Organic Template, *Journal of Materials Processing Technology*, **206**, p. 445 (2008).